# ОБЪЯСНЕНИЕ АНОМАЛЬНОЙ ВСПЫШЕЧНОЙ АКТИВНОСТИ КОМЕТЫ 29P/SCHWASSMANN-WACHMANN 1. ГИПОТЕЗА О НАЛИЧИИ У КОМЕТЫ КРУПНЫХ СПУТНИКОВ

© 2023 г. Ю. Д. Медведев<sup>1\*</sup>, С. Р. Павлов<sup>1</sup>

<sup>1</sup> Институт прикладной астрономии РАН, Санкт-Петербург, Россия Поступила в редакцию 22.06.2023 г. После доработки 25.07.2023 г.; принята к публикации 11.08.2023 г.

Аномальную вспышечную активность кометы 29P/Schwassmann-Wachmann 1 мы объясняем наличием у кометы спутников, соприкасающихся с поверхностью ядра кометы в перицентрах своих орбит. Предполагается, что спутники движутся по вытянутым орбитам, и в результате столкновений с пылевым слоем ядра выбрасывается большое количество пыли, отражение от которой вызывает периодические вспышки яркости (БАА, 2023). В зависимости от глубины проникновения спутников в пылевой слой происходит увеличение яркости кометы различной интенсивности. Улучшение орбиты кометы с привлечением позиционных наблюдений позволяет определить преимущественное направление выброса вещества по смещению фотоцентра, которое мы интерпретируем как направление вектора скорости наибольшего спутника в перицентре. Результаты математического моделирования выброса и последующего движения пылевых частиц, вызванного контактом спутника с пылевым слоем ядра кометы, объясняют образование наблюдаемых в комете структур: пылевых джетов и их зеркальной симметрии, а также протяженность области выброса вещества с поверхности ядра кометы.

*Ключевые слова*: комета 29P/Schwassmann-Wachmann 1, вспышечная активность комет, пылевые джеты, смещение фотоцентра.

DOI: 10.31857/S032001082308003X, EDN: YDDFUK

#### ВВЕДЕНИЕ

Долгие годы внимание ученых привлекает комета 29P/Schwassmann-Wachmann 1. Объект принадлежит классу кентавров, его орбита целиком лежит за орбитой Юпитера приблизительно на расстоянии 6 а.е. Несмотря на почти круговую, свойственную более астероидам, чем кометам, орбиту, за свою непрекращающуюся с момента открытия в 1927 г. вспышечную активность объект получил кометное обозначение. Широкое внимание комета 29Р заслужила нерегулярностью и разной интенсивностью своих вспышек. С октября 2007 г. Британская астрономическая ассоциация (БАА) инициировала миссию, посвященную изучению комет с непредсказуемой вспышечной активностью, а начиная с 2014 г. за кометой 29Р ведутся регулярные фотометрические наблюдения. Основные наблюдательные данные сейчас аккумулируются на отдельной web-странице, посвященной комете, на сайте БАА (2023).

В среднем за год наблюдается семь мощных вспышек с периодичностью от 55 до 60 сут и

увеличением блеска на четыре и более звездных величин (Кочергин и др., 2021). Яркие вспышки перемежаются менее яркими со слабо выраженной периодичностью в 9–14 а.е. (рис. 1). Кроме того, обнаружены формирующиеся после вспышки пылевые облака, в расположении которых отмечают наличие зеркальной симметрии (Майлс и др., 2016; Триго-Родригес и др., 2010). Скорости вещества у поверхности ядра небольшие, по наблюдениям телескопа Хаббл на расстояниях менее 1200 км от ядра скорость пыли составляет 17 м/с (Майлс и др., 2016), при этом они отмечают, что форма областей, с которых происходит выброс вещества, не точечная, а вытянута вдоль поверхности ядра кометы.

Ядро кометы большое, диаметр ядра оценивают в 60.4 км (ЛРД, 2023), альбедо — порядка 0.033 (Байер, 2013). Предполагается, что поверхность ядра покрыта толстым слоем пыли. Поляриметрические исследования, проведенные Кочергиным и др. (2021), показали, что наблюдаемое после вспышки свечение является, скорей всего, результатом рассеяния света на пылинках микронного размера, а не излучением молекул газа. Оценки пе-

<sup>\*</sup>Электронный адрес: medvedev@iaaras.ru

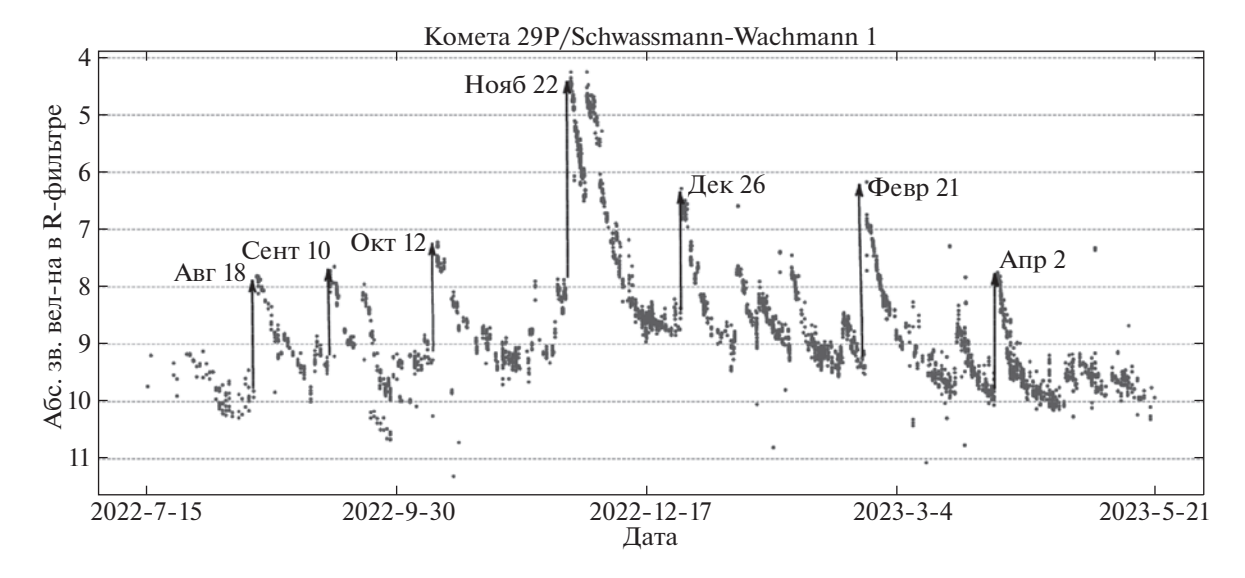


Рис. 1. Кривая блеска кометы 29P/Schwassmann-Wachmann 1 с июля 2022 г. по май 2023 г.

риода обращения кометы вокруг собственной оси по разным источникам рознятся и составляют от 6 ч до 60 а.е., что связано с различными подходами, применяемыми авторами (Триго-Родригес и др., 2010; Иванова и др., 2012; Шубина и др., 2023; Джевитт, 1990; Мич и др., 1993).

К сегодняшнему дню выдвинуто множество гипотез, пытающихся объяснить причины наблюдаемых вспышек кометы 29Р. Наибольшее употребление находит объяснение, предполагающее наличие под поверхностью кометы каверн, содержащих льды метана и угарного газа. Выброс вещества в таком случае является следствием сублимации льдов летучих соединений, находящихся с солнечной стороны и провоцирующих взрыв (Майлс и др., 2016). Другие гипотезы предполагают столкновение астероида с метеороидными потоками (Гронковски, 2004) или фрагментацию ядра кометы в результате внутренних напряжений (Неслусан, 2014). Некоторые из выдвинутых гипотез были опровергнуты самими авторами, другие еще нуждаются в проверке. Так или иначе, вопрос о причинах наблюдаемых у кометы 29Р вспышек остается открытым, активно обсуждаемым и требующим своего окончательного разрешения.

## ФОРМУЛИРОВКА ГИПОТЕЗЫ

Поскольку все опубликованные предположения о вспышечной активности кометы имеют те или иные изъяны в интерпретации наблюдательных данных, мы предлагаем свое объяснение выше перечисленным особенностям кометы. Мы предполагаем, что в результате распада кометы, произошедшего из-за тесного сближения кометы с Юпитером

или другого физического процесса, у кометы появились спутники. Для того чтобы оценить область, в которой возможно длительное существование спутников, мы вычислили радиус сферы действия тяготения ядра кометы по формуле (Абалакин и др., 1978):  $r_{
m d} = r_{
m s} \sqrt[5]{(m_{
m c}/m_{\odot})^2}$ , где  $r_{
m s}$  — гелиоцентрическое расстояние от кометы до Солнца,  $m_{\rm c}$  масса ядра кометы,  $m_{\odot}$  — масса Солнца. Полагая, что ядро кометы — сфера радиусом r=30.2 км и плотностью  $\rho = 10^3$  кг/м<sup>3</sup>, а  $r_{\rm s} = 5.78$  a.e. гелиоцентрическое расстояние кометы в перигелии; мы получили, что радиус сферы действия кометы  $r_{\rm d}=4385$  км. Это достаточно большая область пространства, допускающая орбиты спутников с периодами вплоть до 80 а.е. Наблюдаемые вспышки можно объяснить наличием одного или нескольких крупных спутников километровых размеров, которые движутся по вытянутым орбитам с перицентрическими расстояниями, позволяющими им касаться пылевого слоя, покрывающего ядро кометы. Столкновение спутников с пылевым слоем может происходить со скоростями вплоть до второй космической — 22.6 м/с. При прохождении перицентра спутник наподобие плуга поднимает с поверхности кометы пылевые частицы, вызывающие увеличение яркости. Различная интенсивность вспышек объясняется различной глубиной проникновения спутников в пылевую оболочку ядра кометы, размерами спутников, а также вращением и неровностью поверхности ядра кометы. Мощность пылевого слоя в результате таких контактов не подвержена значительному истощению, так как после каждой вспышки значительная часть пыли оседает обратно на поверхность ядра кометы.

### вычисления

Было проведено совместное численное моделирование движения ядра кометы и его спутников. При моделировании учитывались взаимные гравитационные возмущения ядра и спутника, а также возмущения со стороны Солнца и Юпитера. В случае соприкосновения спутника с ядром учитывалось тормозящее ускорение, которое считалось пропорциональным глубине проникновения спутника в поверхностный пылевой слой.

Численные эксперименты показали, что орбиты спутников с периодами 55-60 сут (значения больших полуосей орбит 1640-1740 км) нестабильны. Из-за возмущений со стороны Солнца и Юпитера у них наблюдаются изменения перицентрических расстояний, причем в сторону уменьшения. Это приводит к столкновению не только с пылевым слоем, но и с твердой частью ядра кометы. Орбиты с периодами 27-30 сут показывают ощутимо меньшие изменения орбитальных элементов. Однако наиболее стабильно движение спутников с периодами 12-14 сут (значения больших полуосей 590-660 км). В этом случае изменения перицентрических расстояний незначительны даже на столетних интервалах. Наибольшим изменениям подвержены большие полуоси, поскольку кинетическая энергия спутников тратится на взаимодействие с пылевым слоем. Эксцентриситеты таких орбит равны приблизительно 0.95, а скорости, развиваемые спутниками в перицентре, достигают 22.3 м/с.

Пренебрегая энергией, расходуемой на тепло, т.е. считая взаимодействие спутника с пылевым слоем упругим, мы оценили величину кинетической энергии, расходуемой спутником на выброс пыли. Хосек и др. (2013) определили, что во время вспышки в мае 2011 г. с поверхности кометы выброшено порядка  $2.6\pm0.3\times10^8$  кг пыли. Если считать, что спутник разгоняет пылевые частицы до скорости  $v_0=20$  м/с, то кинетическая энергия, требуемая для разгона такого количества пыли, составит  $E=5.20\times10^{10}$  Дж. А в среднем для семи таких вспышек за год  $E_{\rm год}=3.64\times10^{11}$  Дж.

Найдем разницу энергий спутника радиусом  $r_{\text{спутн}}=1$  км и плотностью  $10^3$  кг/м $^3$  на орбите с большой полуосью a=600 км и эксцентриситетом e=0.95, и на круговой орбите с большой полуосью равной радиусу ядра кометы a=30.2 км. Она равна  $\Delta E=0.53\times 10^{15}$  Дж. Время жизни километрового спутника, если годовой расход энергии меняться не будет, и он не врежется в твердую составляющую ядра и не разрушится, составит  $t=\Delta E/E_{\rm год}\approx 1500$  лет.

Мы предположили, что выброс пылевых частиц при контакте наибольшего спутника с ядром кометы приводит к систематическому смещению фотоцентра кометы в направлении скорости спутника в

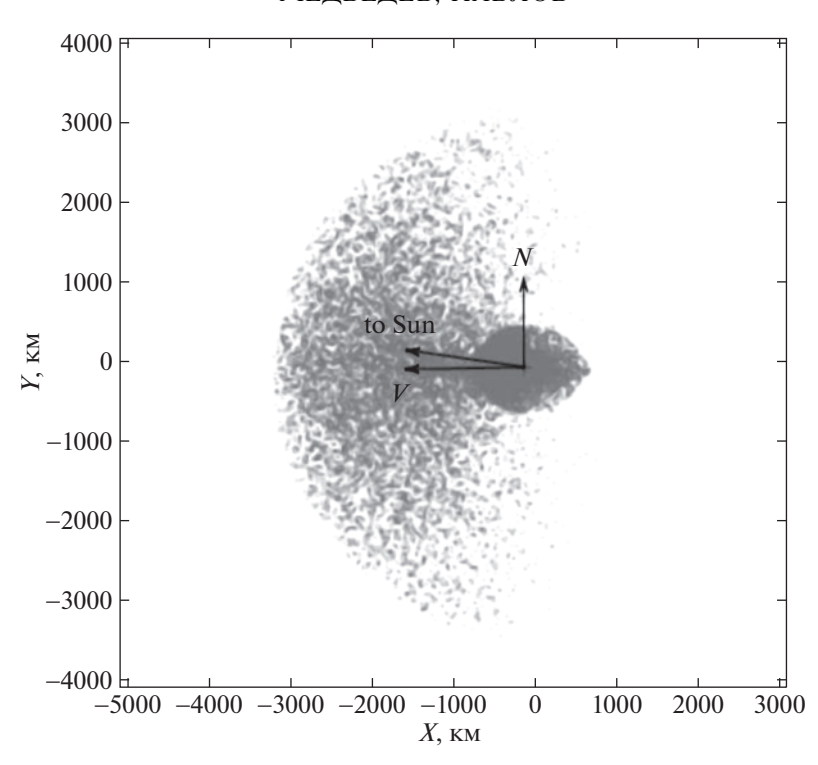
перицентре. Для обнаружения этого эффекта мы провели совместное улучшение координат, компонент скорости и трех компонент вектора смещения фотоцентра кометы 29Р на эпоху 17 июня 2015 г. по всем имеющимся позиционным наблюдениям с 1927 по 2023 г. В процессе улучшения были использованы наблюдения, взятые с сайта МПЦ (2023). Смещение фотоцентра определялось на нескольких интервалах по 5 дней с момента выброса, пока хвост еще не был сильно развернут солнечным давлением. Даты выбросов мы определяли по световым кривым и выбрали следующие моменты с наибольшими изменениями яркости: 2023.04.02, 2023.02.21, 2022.12.26, 2022.11.29, 2022.11.21, 2021.03.31, 2021.01.14, 2020.07.26, 2019.08.03, 2019.05.11.

Полученные значения параметров орбиты и смещения позволили представить наблюдения со среднеквадратической ошибкой 0.56 угл. сек. В улучшении использовалось 61 908 условных уравнений. Векторы положения, компонент скорости и смещения фотоцентра кометы в позиционных наблюдениях на эпоху 17 июня 2015 г. приведены в табл. 1.

Проведено моделирование образования и эволюции облака пылинок в результате столкновения спутника кометы с пылевым слоем, покрывающим поверхность ядра кометы. В уравнения движения пылевых частиц мы включили гравитационные притяжения со стороны ядра кометы, Солнца, Юпитера и солнечное давление.

**Таблица 1.** Координаты, компоненты скорости и величины смещений фотоцентра кометы 29P/Schwassmann-Wachmann 1 в экваториальной системе координат и их ошибки

Параметр	Значение	Ошибка
X, a.e.	-0.517504003	$0.194 \times 10^{-6}$
Y, a.e.	-5.185826952	$0.929 \times 10^{-7}$
Z, a.e.	-3.041518160	$0.114 \times 10^{-6}$
$\dot{X}$ , a.e./cyr	0.006931788	$0.938 \times 10^{-10}$
$\dot{Y}$ , a.e./сут	-0.000690218	$0.154 \times 10^{-9}$
$\dot{Z}$ , a.e./cyr	0.000572751	$0.140 \times 10^{-9}$
$\Delta X$ , km	-1045	58
$\Delta Y$ , km	1611	91
$\Delta Z$ , km	268	62



**Рис. 2.** Распределение пылинок на седьмой день после столкновения спутника с пылевым слоем ядра кометы 29P/Schwassmann Wachmann 1. Вид картинной плоскости для земного наблюдателя.

Выброс пылинок моделировался с дуги контакта спутника с поверхностью кометы. Для расчетной орбиты спутника: a = 600 км и e = 0.95, и при заглублении спутника на 0.2 км под поверхность пылевого слоя ядра кометы, длина дуги контакта составит приблизительно 1.6 км. Мы разбили дугу контакта на 200 точек. С каждой точки моделировался выброс 250 пылинок с начальными скоростями, взятыми из бета-распределения с параметрами  $\beta(20,1)$  в пределах от 0 до 22 м/с. Для каждой пылинки случайным образом также задавались два угла, определяющих направление ее начальной скорости. Угол в плоскости, касательной к поверхности кометы, выбирался из пирамидального распределения в пределах  $[-90^{\circ}; +90^{\circ}]$ от направления вектора скорости спутника. Угол из плоскости выбирался из равномерного распределения в пределах  $[0^\circ; 36^\circ]$ . Размер пылинок выбирался из равномерного распределения; каждой пылинке назначался радиус в пределах от 0.3 до 1 мкм, что соответствует результатам исследований Кочергина и др. (2021).

На рис. 2 приведены результаты моделирования пылевого облака, образовавшегося в результате контакта спутника со слоем пыли на поверхности ядра. На нем представлен вид картинной плоскости для земного наблюдателя на седьмой день после столкновения. Ось X, приведенная на рисунке,

параллельна, и ось Y перпендикулярна плоскости орбиты кометы. На рисунке также указаны векторы, параллельные нормали к плоскости орбиты кометы (вектор N), радиус-вектору кометы (вектор to Sun) и вектору скорости спутника в перицентре (вектор V). На рисунке заметно образование двух джетов, зеркальных относительно оси X, характерных для крупномасштабных фотографий комы кометы 29P.

Моделирование образования пылевого облака показывает, что в течение нескольких дней после выброса преимущественное направление движения пылинок совпадает с направлением скорости спутника. Поэтому мы предположили, что вектор смещения фотоцентра, определенный в экваториальной системе Oxyz с центром в ядре кометы, совпадает с направлением скорости спутника кометы в момент прохождения перицентра:

$$\bar{v_s} = -1045\bar{x} + 1611\bar{y} + 268\bar{z}$$
 (км).

Из предположения, что в момент прохождения перицентра спутник касается поверхности кометы, следует, что модуль радиус-вектора орбиты спутника в этот момент времени равен сумме радиусов кометы и спутника за вычетом глубины проникновения спутника в приповерхностный слой ядра кометы:  $|\bar{r_s}| = 30.2 + 1 - 0.2 = 31$  км.

Таблица 2. Элементы гипотетического спутника

Элементы	Прямое движение	Ретроградное движение
a	600 км	600 км
e	0.95	0.95
i	0°	0°
$\Omega$	0°	0°
ω	83.04°	$263.04^{\circ}$

Вектор скорости спутника в перицентре является нормалью к плоскости, пересечение которой с поверхностью ядра кометы составляет большую окружность. В одной из точек этой окружности находится перицентр орбиты спутника. Пусть плоскость орбиты спутника совпадает с плоскостью орбиты кометы. Пересечение плоскости орбиты спутника с большой окружностью даст две точки на поверхности ядра кометы, соответствующие положению перицентра в случае прямого и ретроградного движений спутника. Введем локальную систему координат с началом отсчета, совпадающим с центром ядра кометы. Ось  $ar{Z}$  направим перпендикулярно из плоскости орбиты кометы, так чтобы комета двигалась против часовой стрелки, если смотреть с конца вектора (прямое движение). Ось X сонаправим с направлением на восходящий узел орбиты кометы. Ось  $ar{Y}$  определим до правой тройки векторов. Тогда элементы орбиты спутника, определенные в этой локальной системе координат, связанной с орбитой кометы, в случае его прямого и ретроградного движений будут иметь значения, приведенные в табл. 2.

Приведенные элементы позволяют предсказывать положение спутника и дают возможность предпринять попытку обнаружить крупный спутник кометы оптическими средствами. Наиболее благоприятными интервалами обнаружения гипотетического спутника являются моменты его нахождения в апоцентре своей орбиты. Если считать, что момент прохождения через перицентр соответствует началу вспышки, то апоцентра он будет достигать через 6—7 дней с момента вспышки.

#### ЗАКЛЮЧЕНИЕ

Мы объясняем аномальную вспышечную активность кометы 29/Schwassmann-Wachmann 1, предположив, что у нее имеются спутники, способные в перицентре проходить вплотную к ядру кометы и поднимать с поверхности облако пыли. Объем выброса в таком случае зависит от глубины

проникновения спутника в пылевую оболочку и его размера. Мы рассчитали объем пыли, обеспечивающий наблюдаемое увеличение яркости кометы, и посчитали, на сколько лет хватит запаса энергии километрового спутника в случае сохраняющейся среднегодовой интенсивности вспышек.

В пользу данной гипотезы свидетельствует то, что в процессе улучшения орбиты спутника по наблюдениям, взятым с MPC (2023), мы получили меньшие значения среднеквадратического отклонения при совместном улучшении орбиты и трех компонент вектора смещения в фиксированной системе координат (XYZ), чем в случае, когда мы улучшали радиальную, трансверсальную и нормальную компоненты вектора смещения. Мы считаем, что данный факт свидетельствует о наличии выделенного направления в пространстве, соответствующего преимущественному направлению выбросов. Мы связываем это с инерциальными свойствами гравитирующих тел: спутника и кометы, а не с относительным положением кометы и Солнца.

Мы также провели математическое моделирование процесса разлета и последующей динамики пылинок в результате столкновения крупного спутника с пылевым слоем на поверхности кометы. Моделирование позволило получить структуры, схожие с наблюдаемыми после выброса джетами, и объяснить протяженность области выброса вещества на поверхности ядра. Из обработки позиционных наблюдений определена величина смещения фотоцентра относительно ядра кометы. Предположив, что направление выброса вещества совпадает с направлением скорости наиболее крупного спутника в перицентре, оценены элементы его орбиты.

Таким образом, мы предполагаем, что комета представляет собой многоспутниковую систему, которая находится в процессе образования тесной пары (ядро и наибольший спутник).

### СПИСОК ЛИТЕРАТУРЫ

- 1. Абалакин В.К. и др., Справочное руководство по небесной механике и астродинамике (М.: Наука, 1976), с. 864.
- 2. БАА (British Astronomical Association): [Электронный ресурс] URL: https://britastro.org/section\_information\_/comet-section-overview/mission-29p-2 (дата обращения 13.06.2023).
- 3. Байер и др. (J.M. Bauer, T. Grav, E. Blauvelt, A.K. Mainzer, J.R. Masiero, R. Stevenson, E. Kramer, Y.R. Fernández, et al.), Astrophys. J. 773, 22 (2013).
- 4. Гронковски (P. Gronkowski), MNRAS **354**, 142 (2004).
- 5. Джевит и др. (D. Jewitt), Astrophys. J. **351**, 277 (1990).

- 6. Иванова и др. (A. Ivanova, V. Afanasiev, P. Korsuna, A.R. Baranskii, M.V. Andreev, and V.A. Ponomarenko), Solar System Res. **46**, 313 (2012).
- 7. Кочергин и др. (A. Kochergin, E. Zubko, E. Chornaya, M. Zheltobryukhov, G. Videen, G. Kornienko, and S.S. Kim), Icarus **366**, 114536 (2021).
- 8. ЛРД (Jet Propulsion Laboratory): [Электронный pecypc] URL: https://ssd.jpl.nasa.gov/tools/sbdb\_lookup.html#/?sstr=29p (дата обращения 13.06.2023).
- 9. Майлс и др. (R. Miles, G.A. Faillace, S. Mottola, et al.), Icarus **272**, 327 (2016).
- 10. Maŭep (R. Miles), Icarus 272, 387 (2016).
- 11. Мич и др. (K.J. Meech, M.J.S. Belton, B.E.A. Mueller, M.W. Dicksion, and H.R. Li), Astron. J. **106**,1222 (1993).

- 12. МПЦ (Minor Planet Center): [Электронный ресурс] URL: https://minorplanetcenter.net/db\_search/show\_object?uti8=%E2%9C%93&object\_id=29p (дата обращения 13.06.2023).
- 13. Неслусан (L. Neslusan), Planet. Space Sci. **101**, 162 (2014).
- 14. Триго-Родригаз и др. (J.M. Trigo-Rodríguez, D.A. García-Hernández, and A. Sánchez), MNRAS **409**, 1682 (2010).
- 15. Хосек и др. (M.W. Hosek, R.C. Blaauw, W.J. Cooke, and R.M. Suggs), Astron. J. **145**,122 (2013).
- 16. Шубина и др. (O. Shubina, V. Kleshchonok, O. Ivanova, I. Luk'yanyk, and A. Baransky), Icarus **391**, 115340 (2023).